

Fig. 1
Prior art

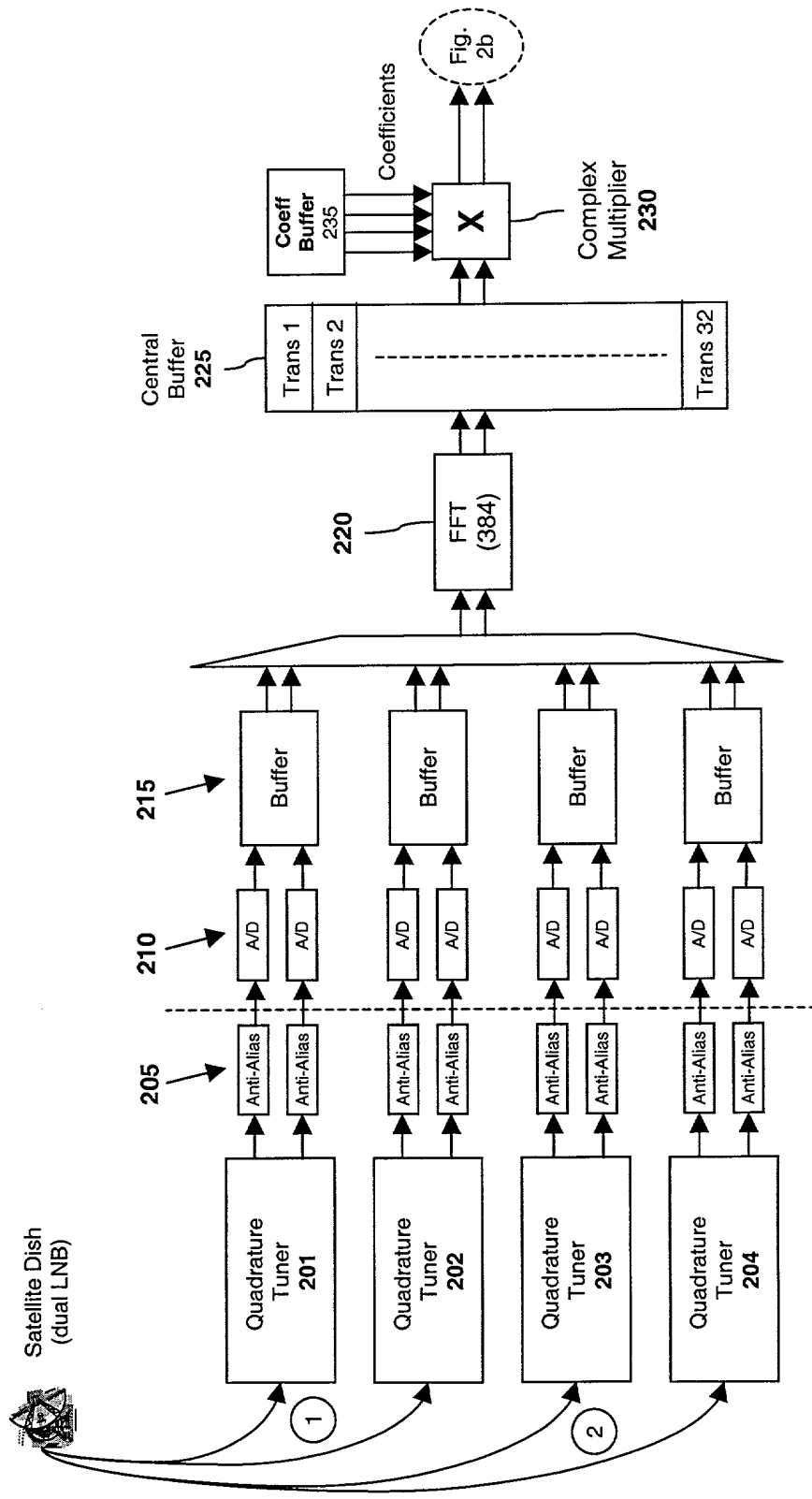


Fig. 2a

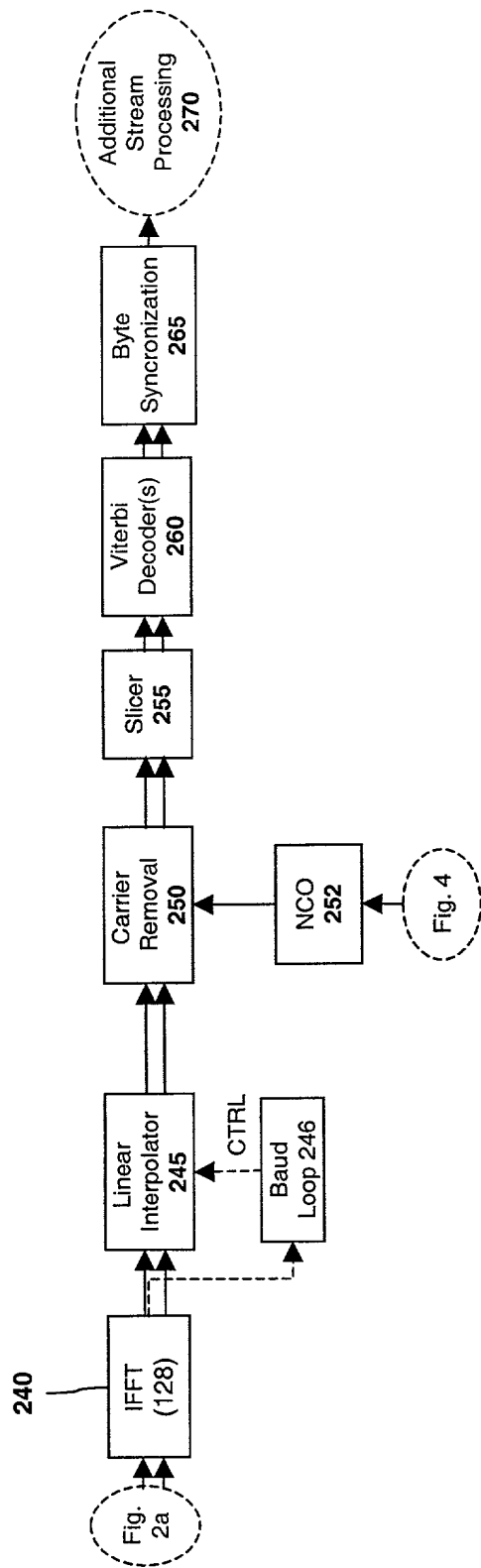


Fig. 2b

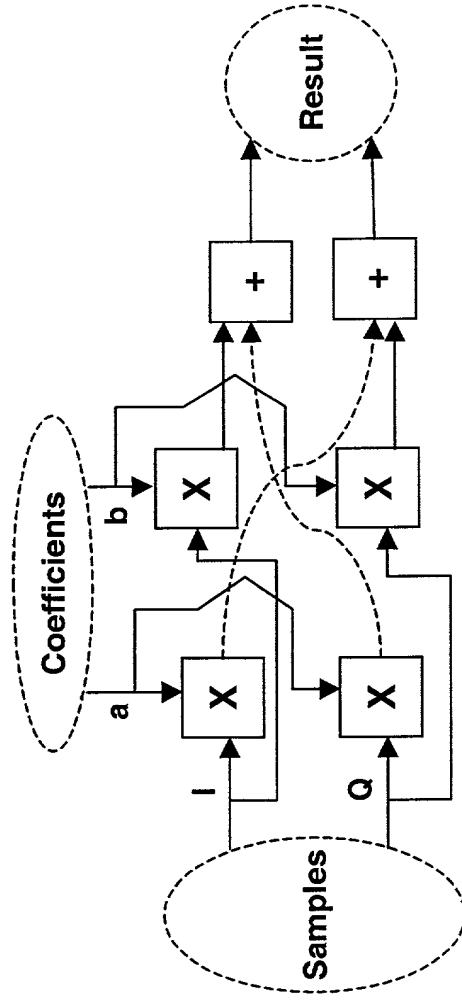


Fig. 3a

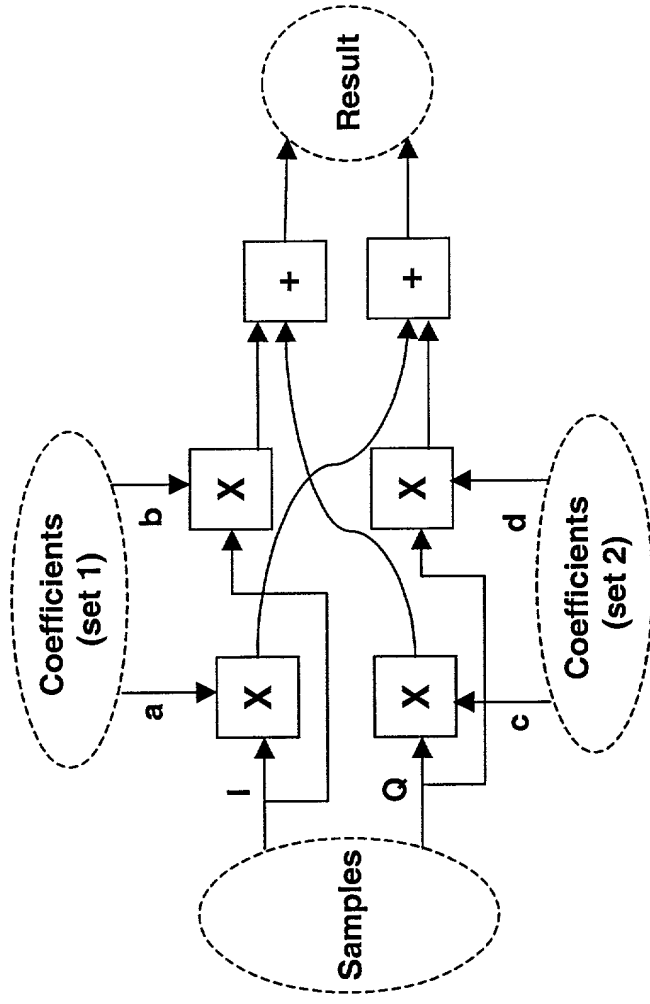


Fig. 3b

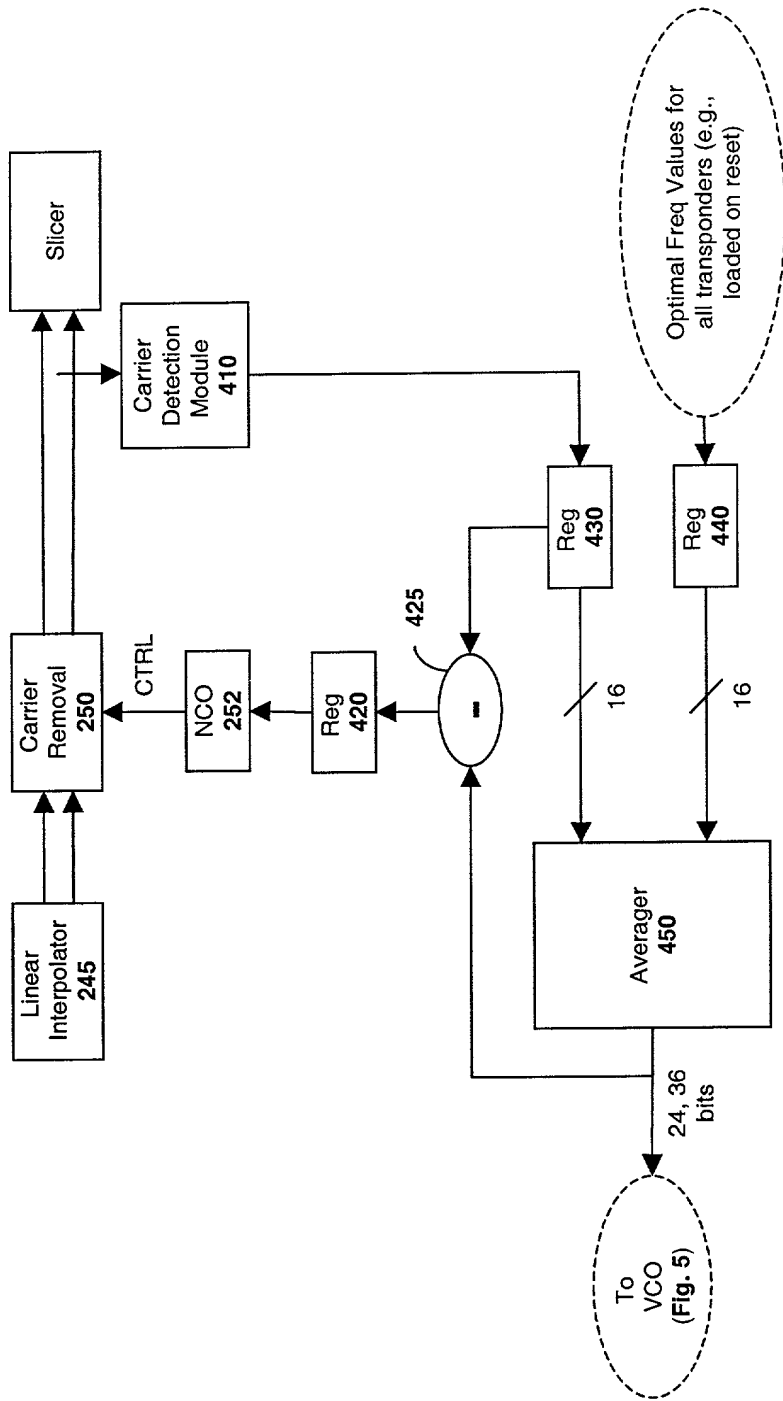


Fig. 4

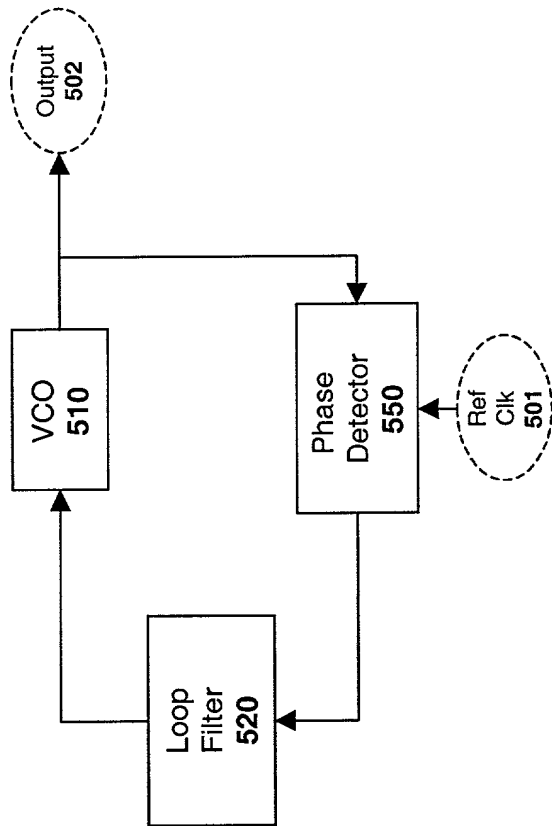


Fig. 5a

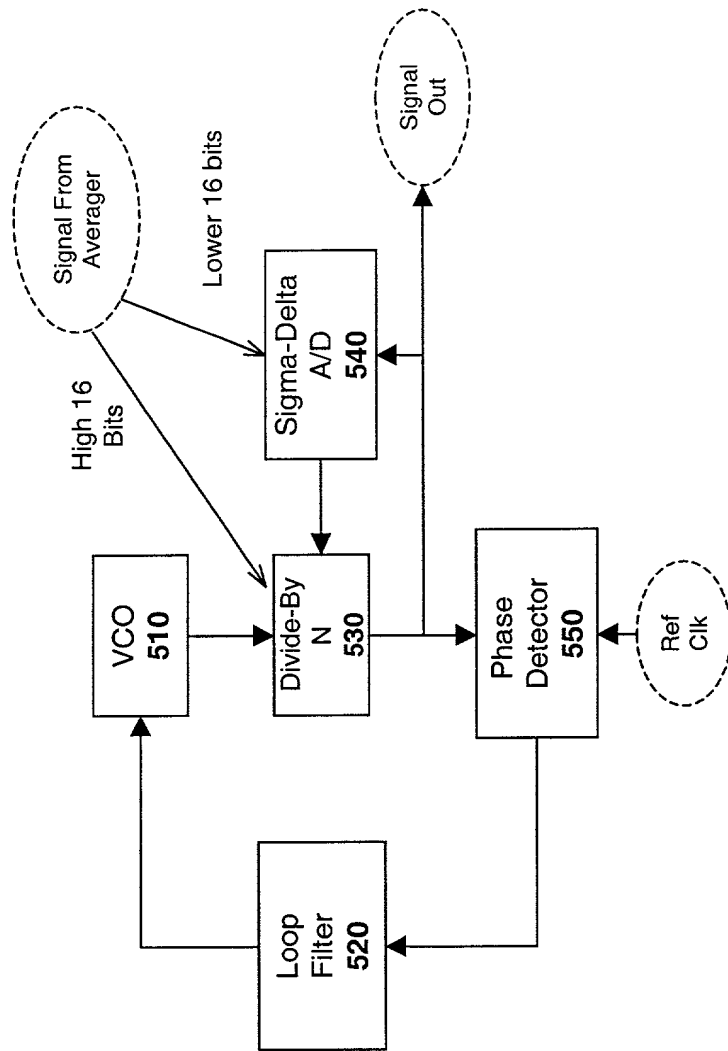


Fig. 5b

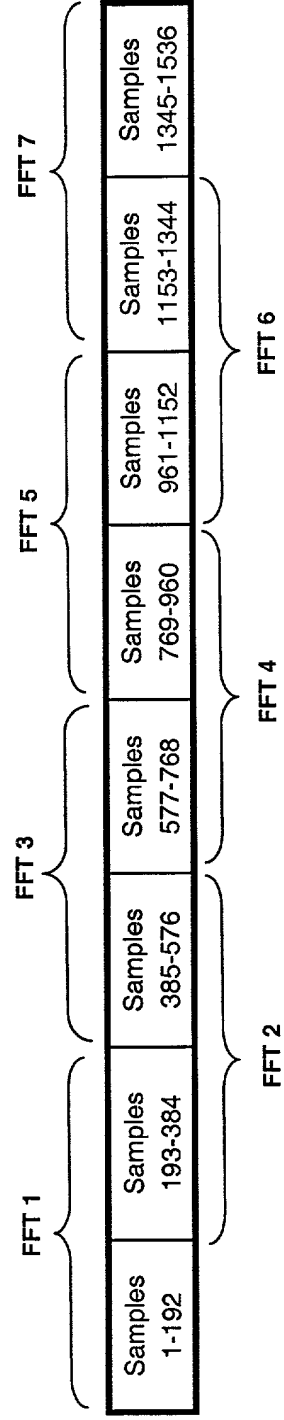


Fig. 6

FFT Input Data

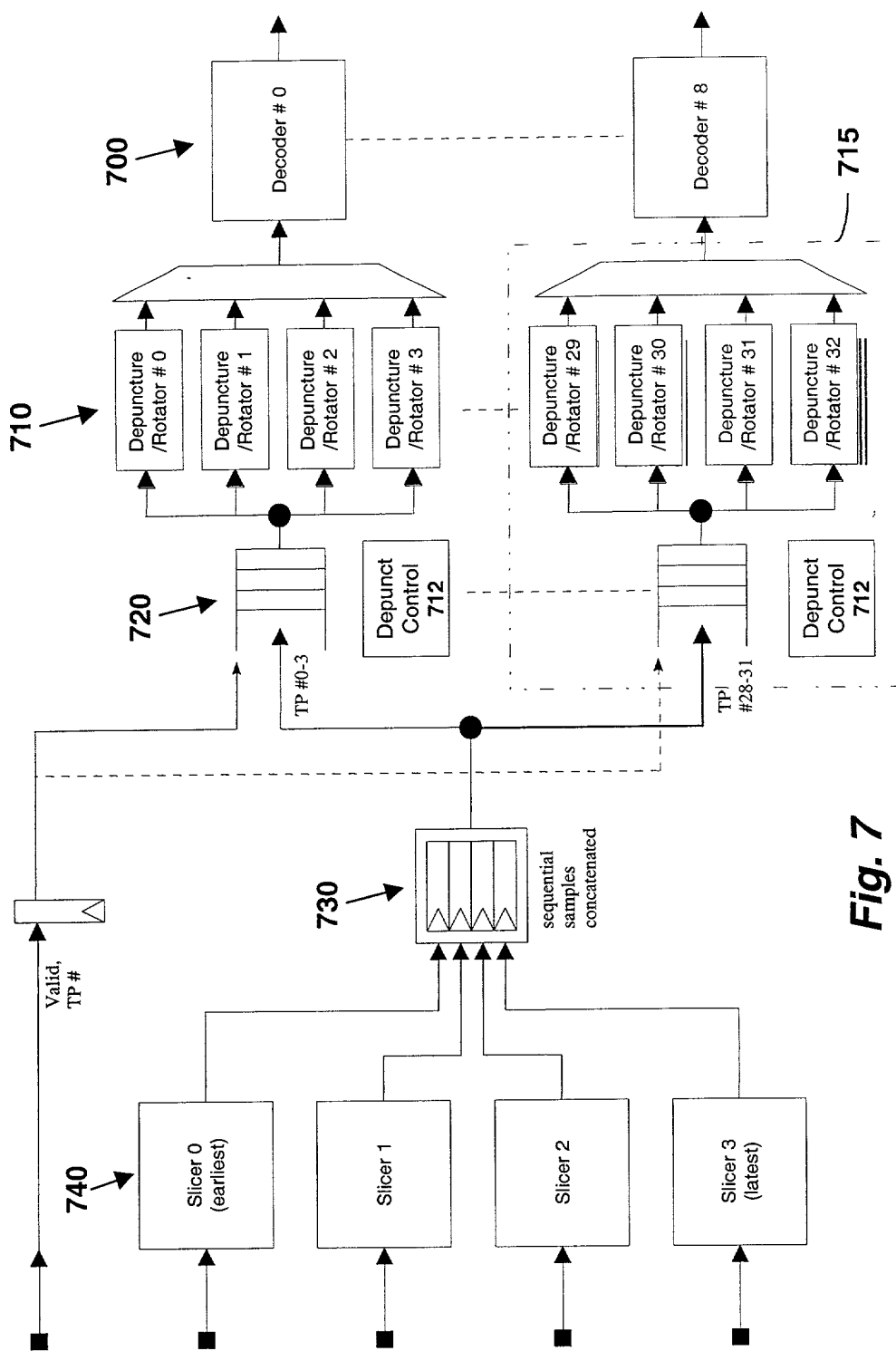


Fig. 7

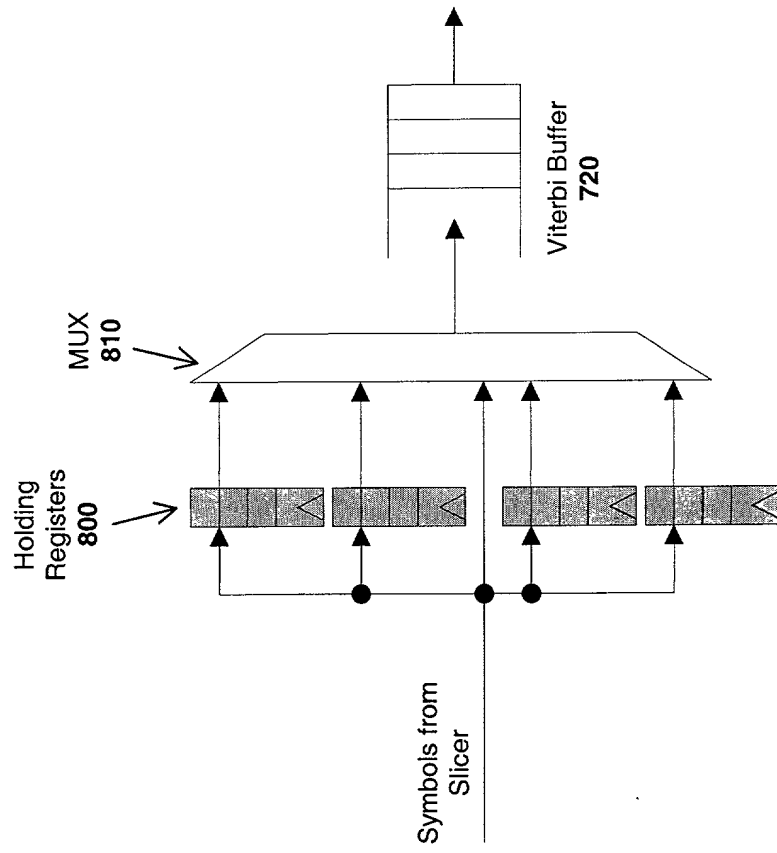


Fig. 8

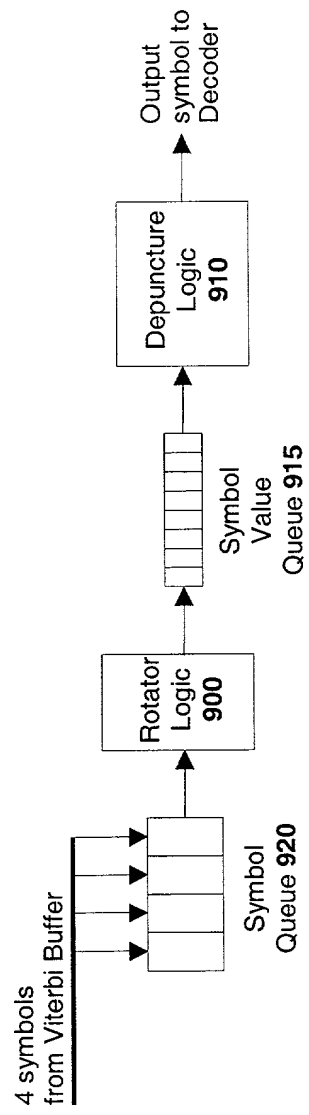


Fig. 9

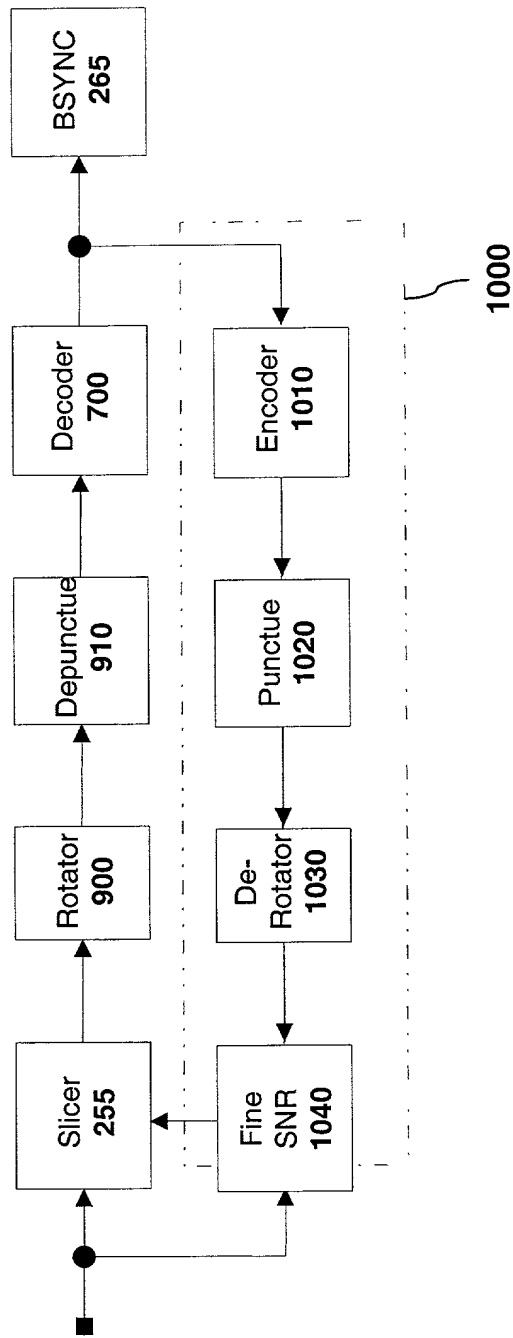


Fig. 10

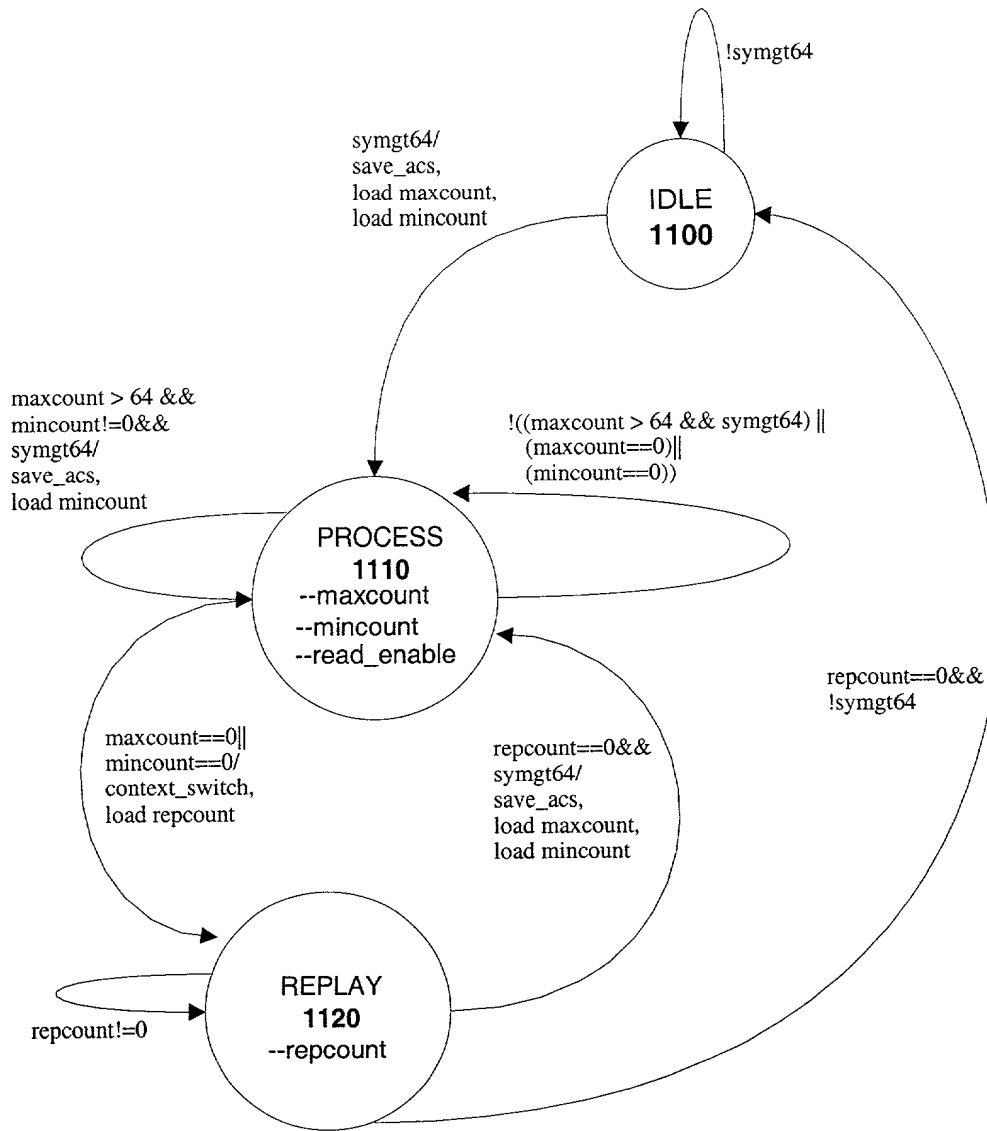


Fig. 11

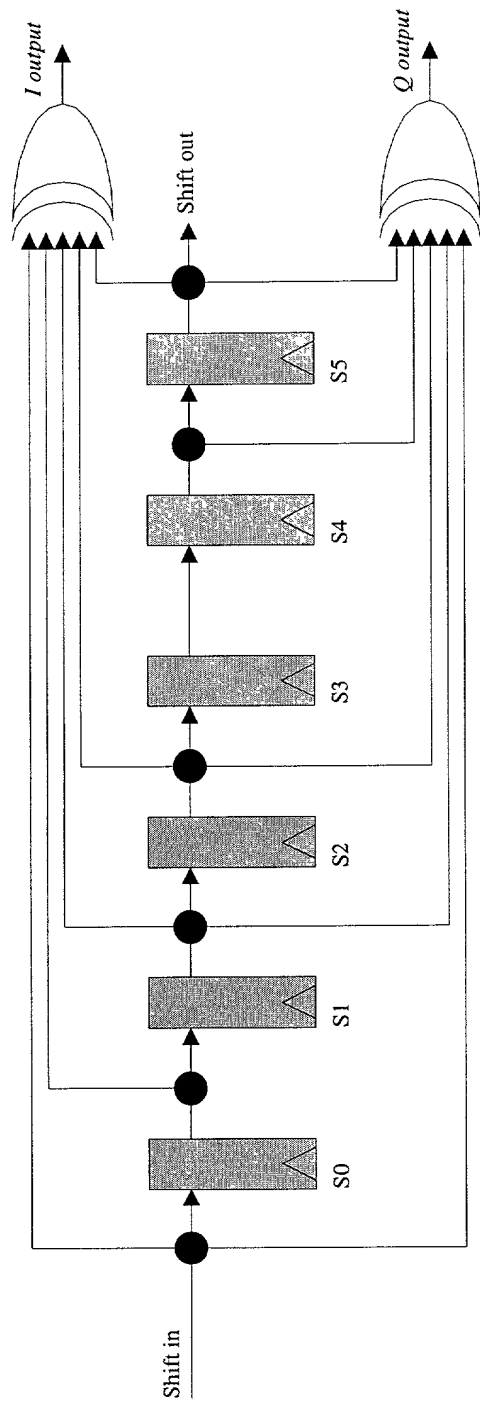


Fig. 12

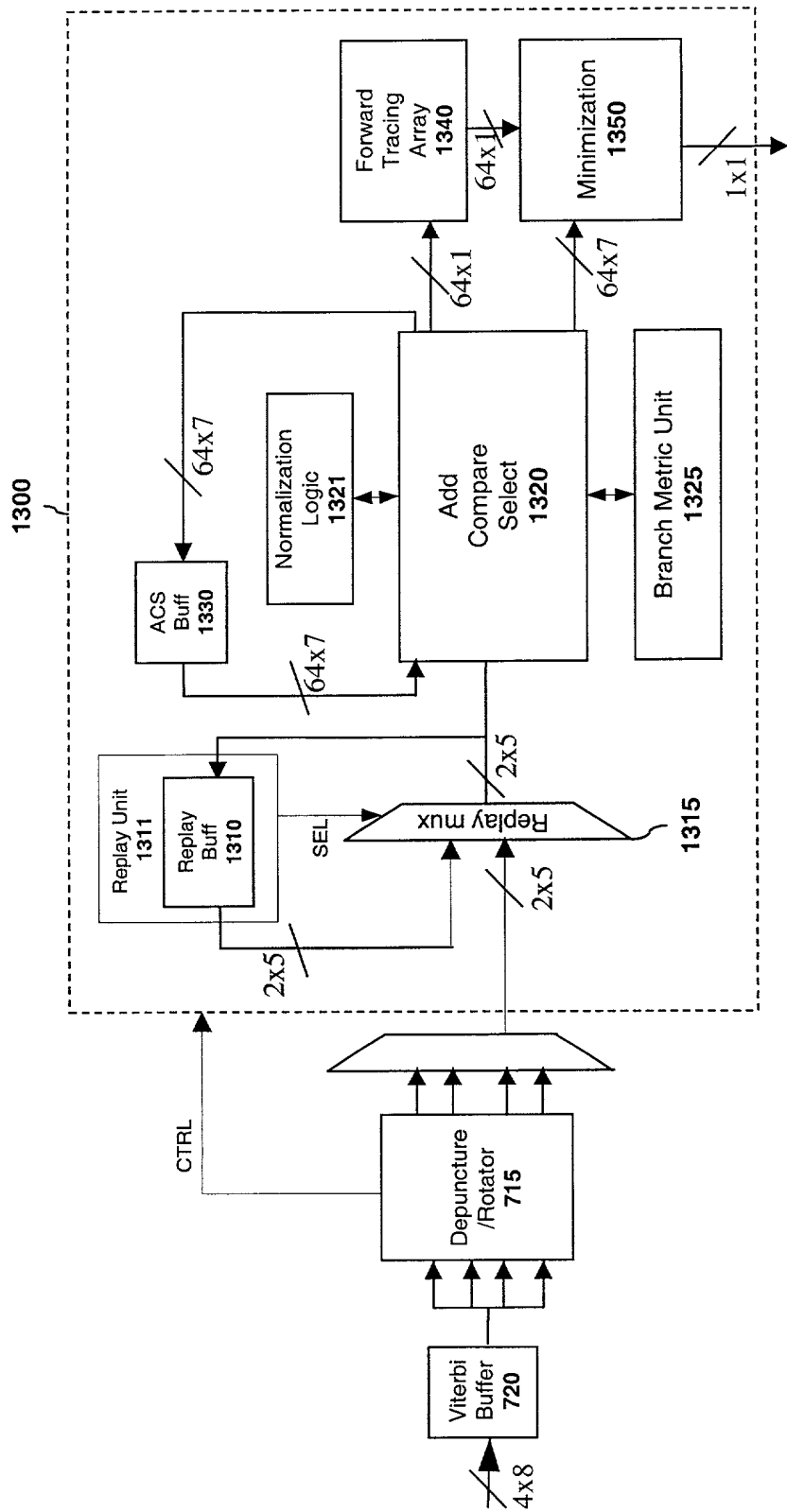


Fig. 13a

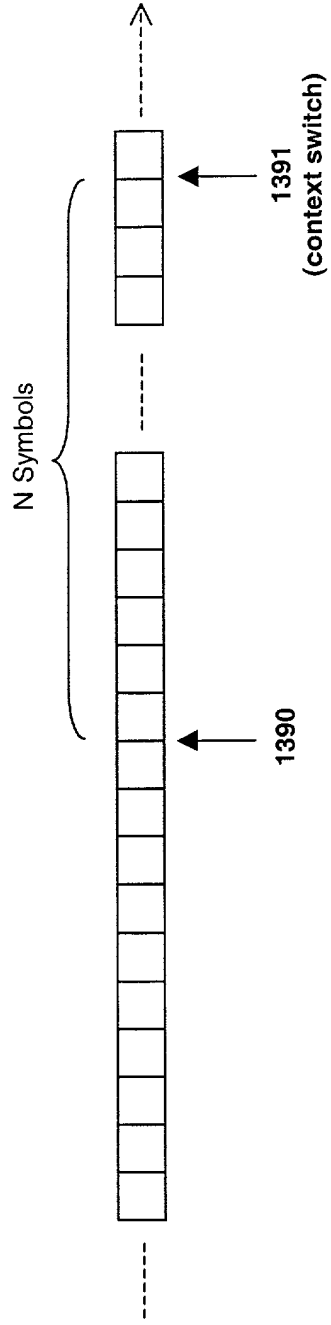


Fig. 13b

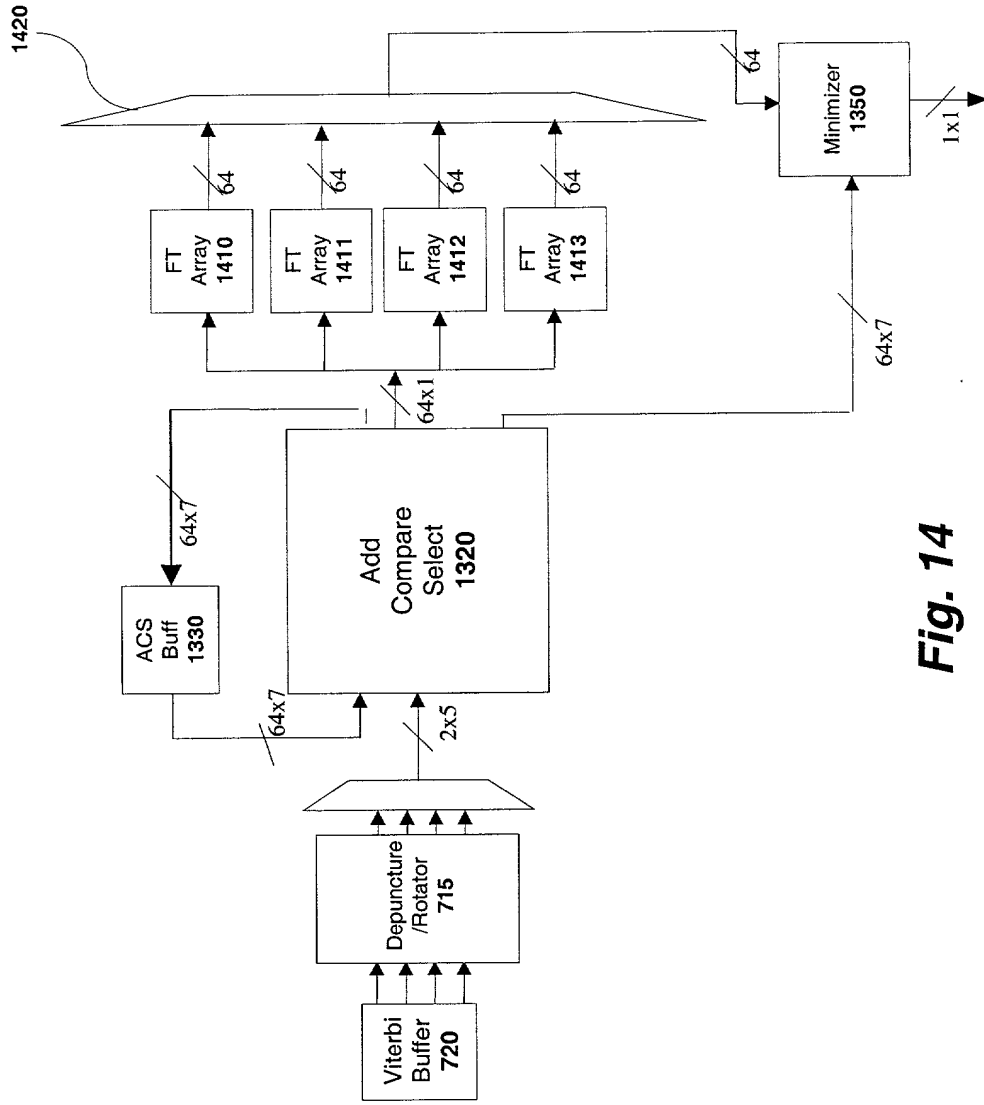


Fig. 14

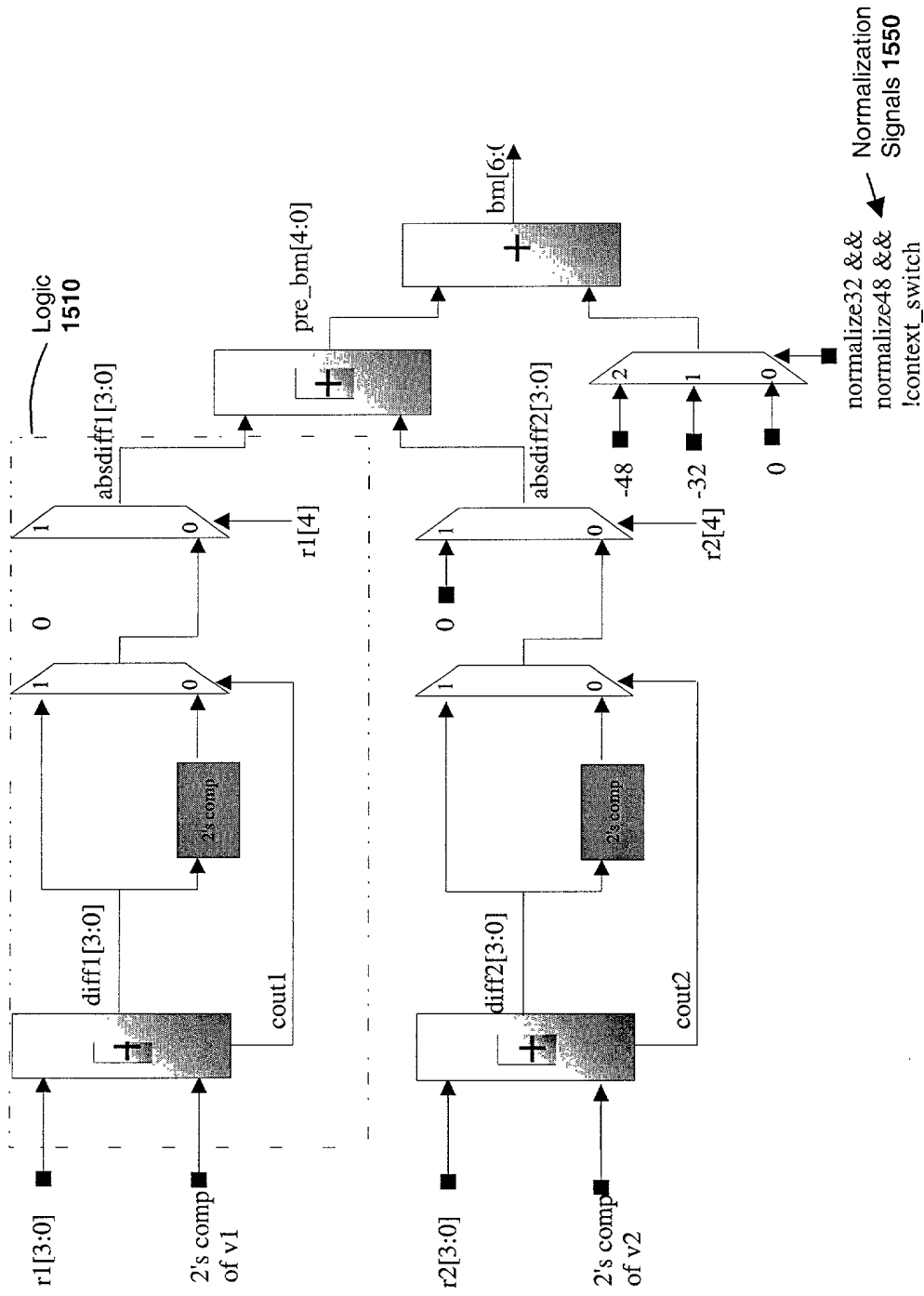


Fig. 15

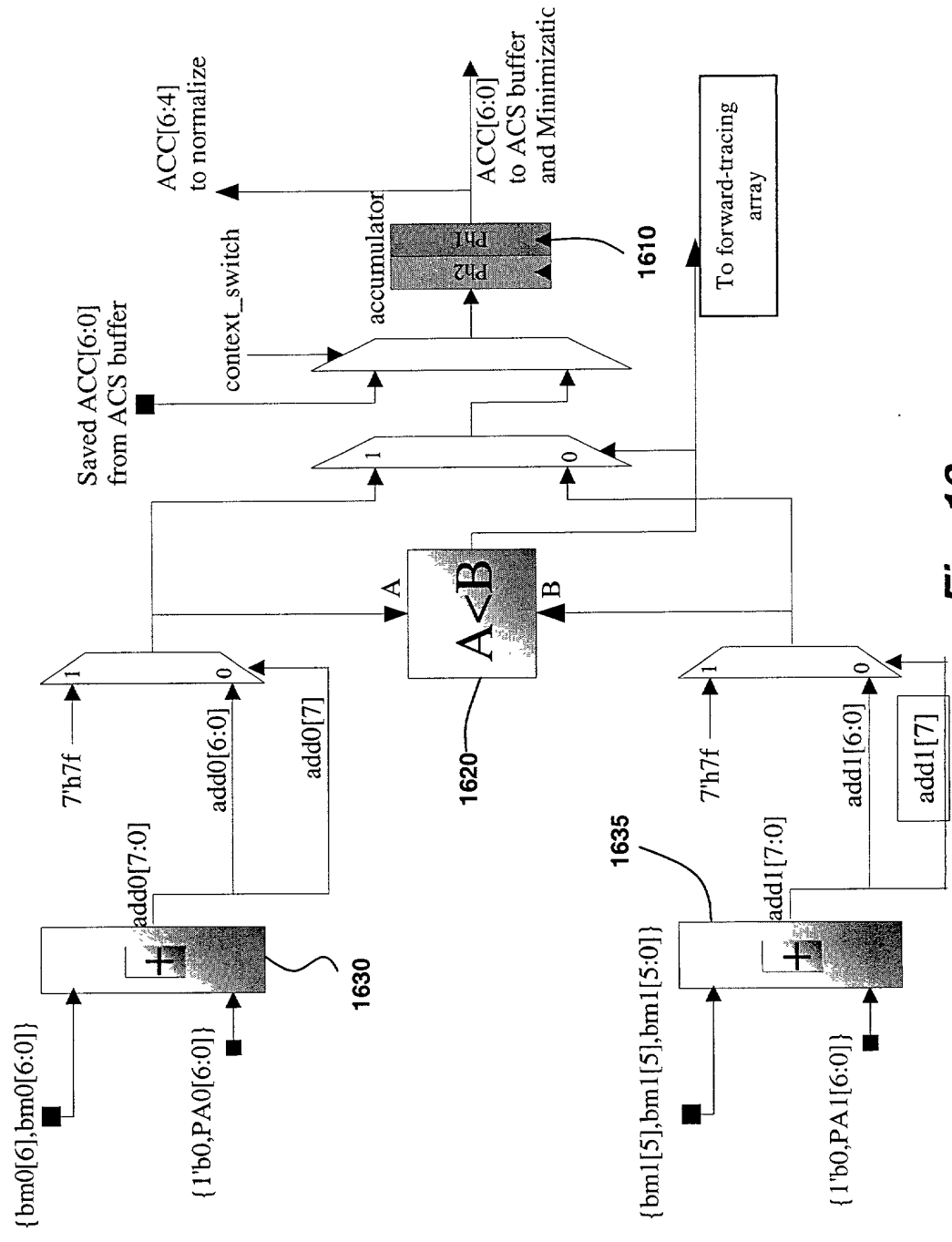


Fig. 16

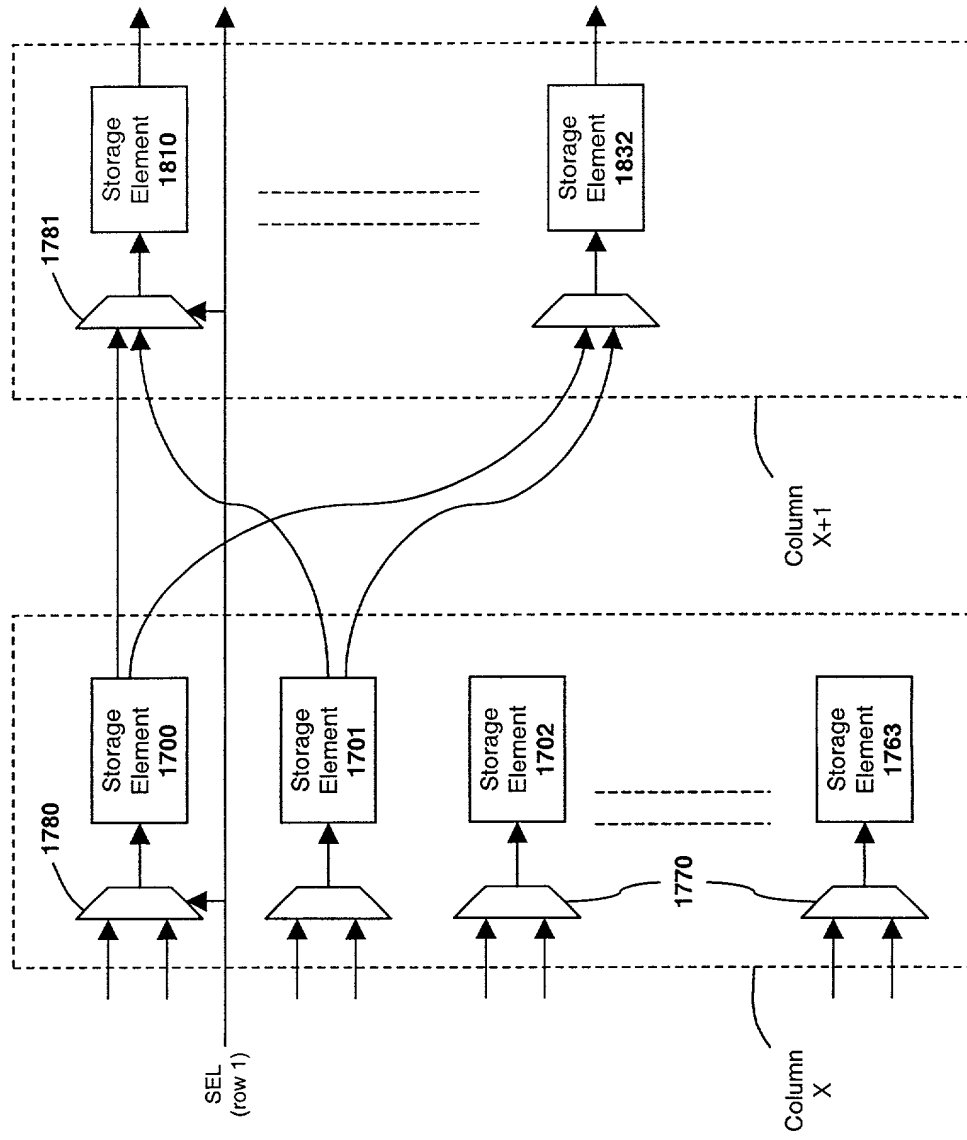


Fig. 17

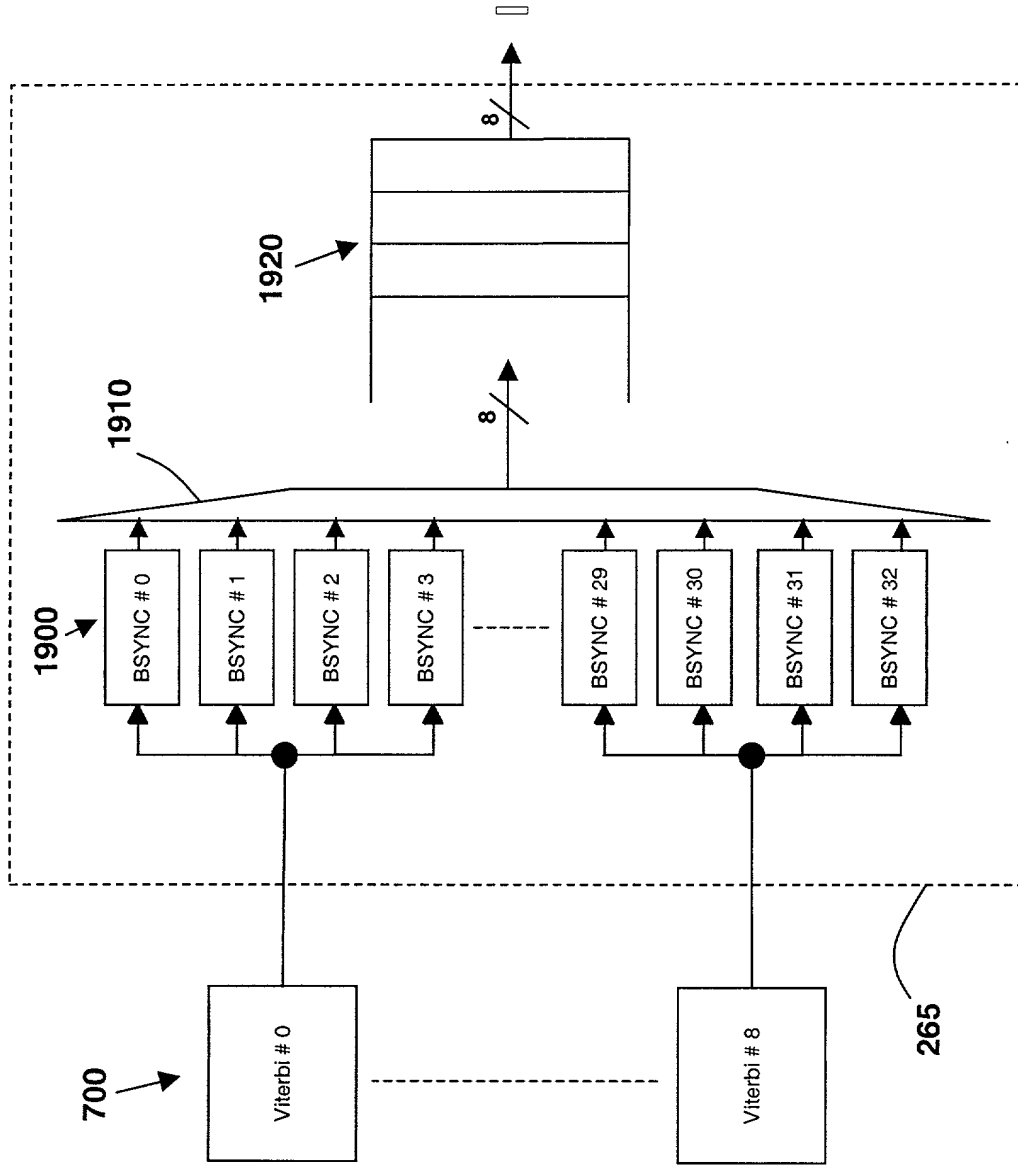


Fig. 19

2000

2000

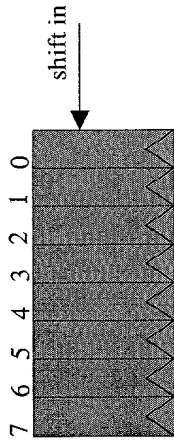


Fig. 20

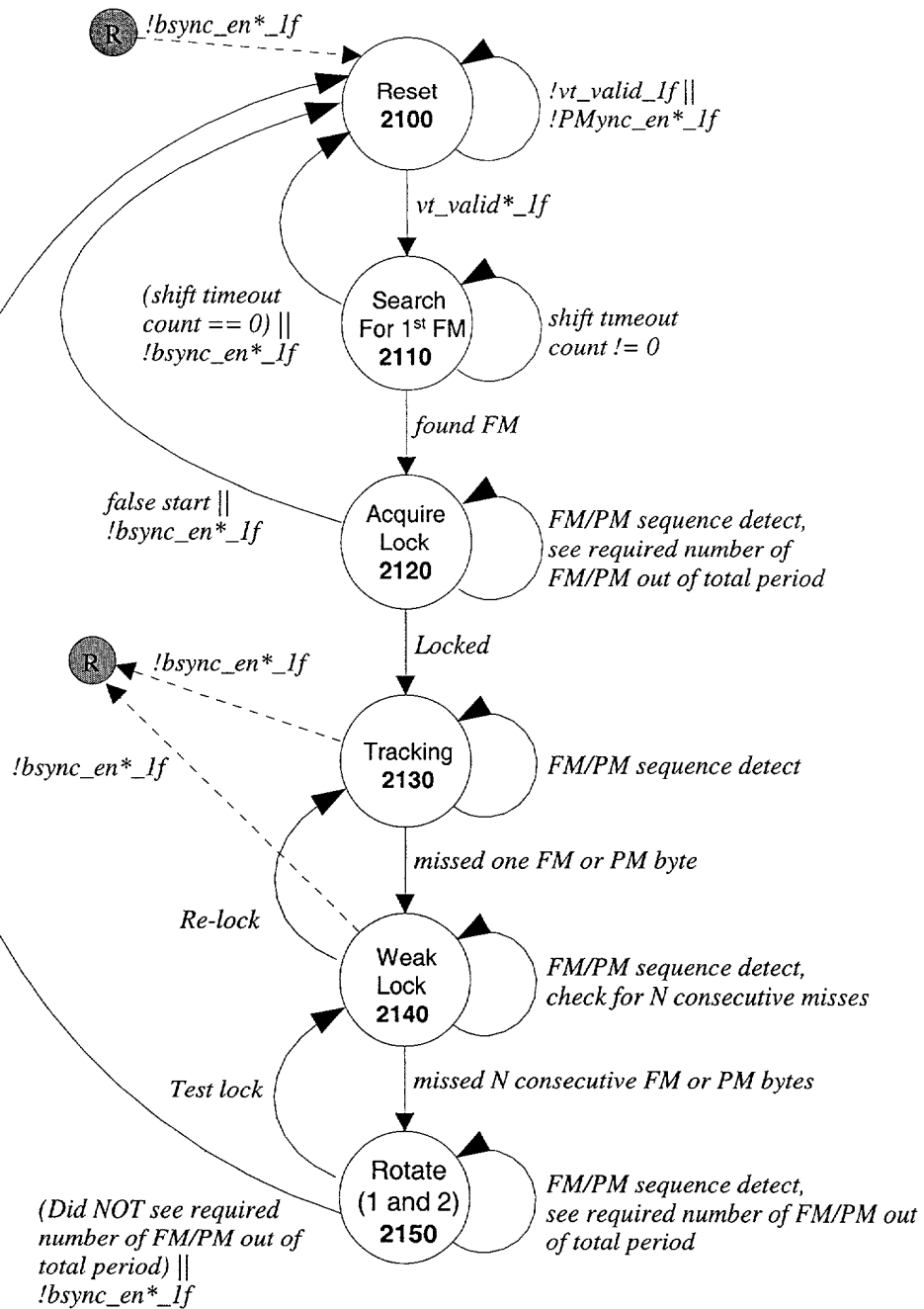


Fig. 21

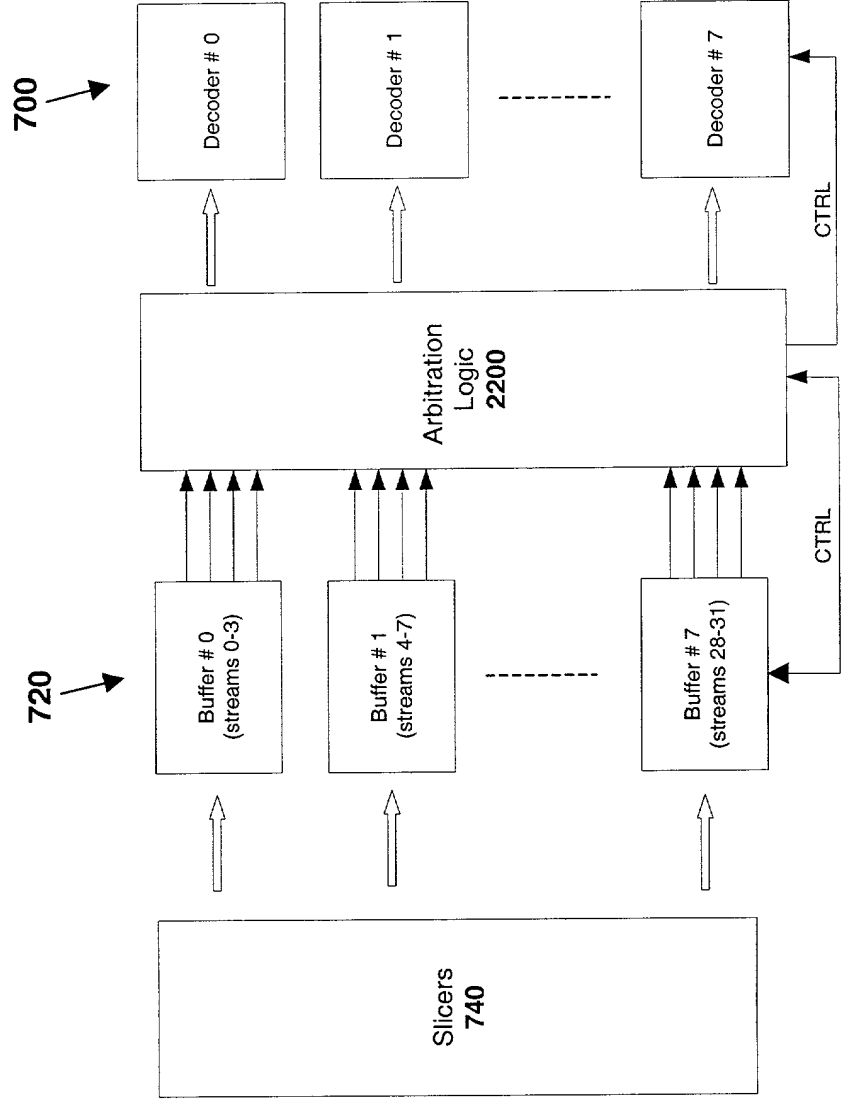


Fig. 22

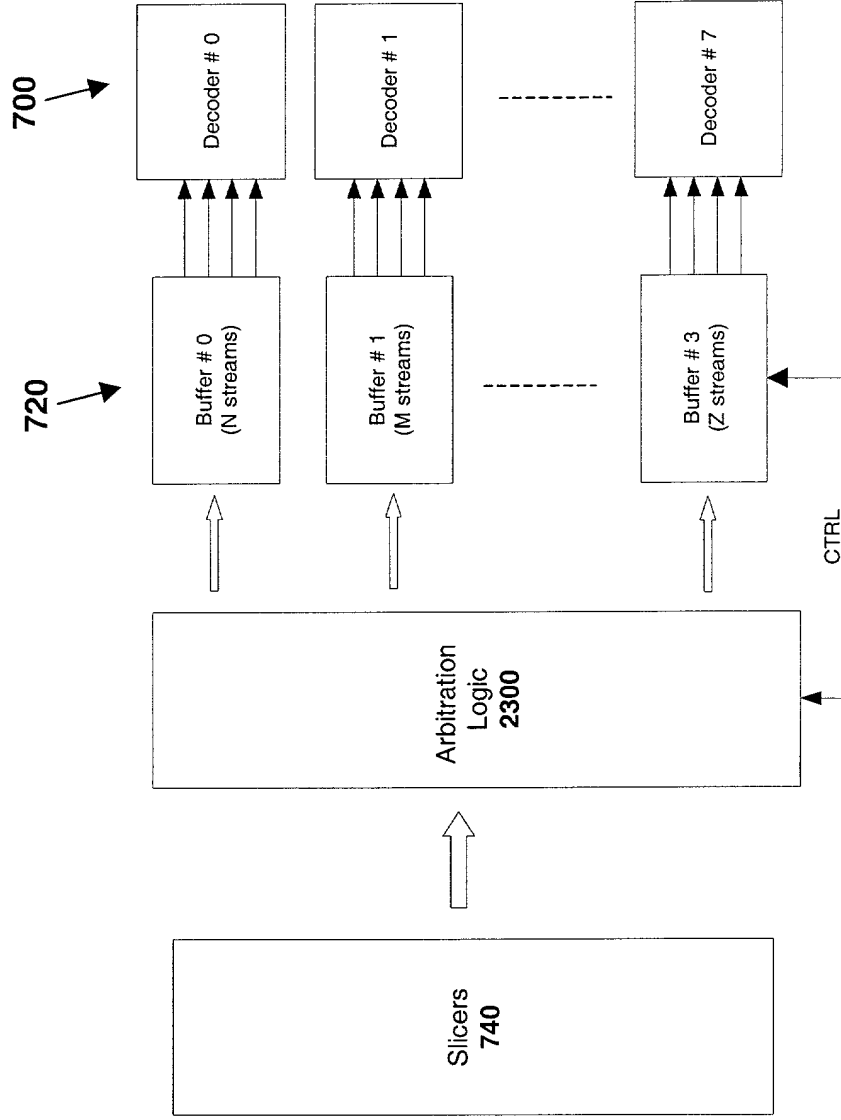


Fig. 23

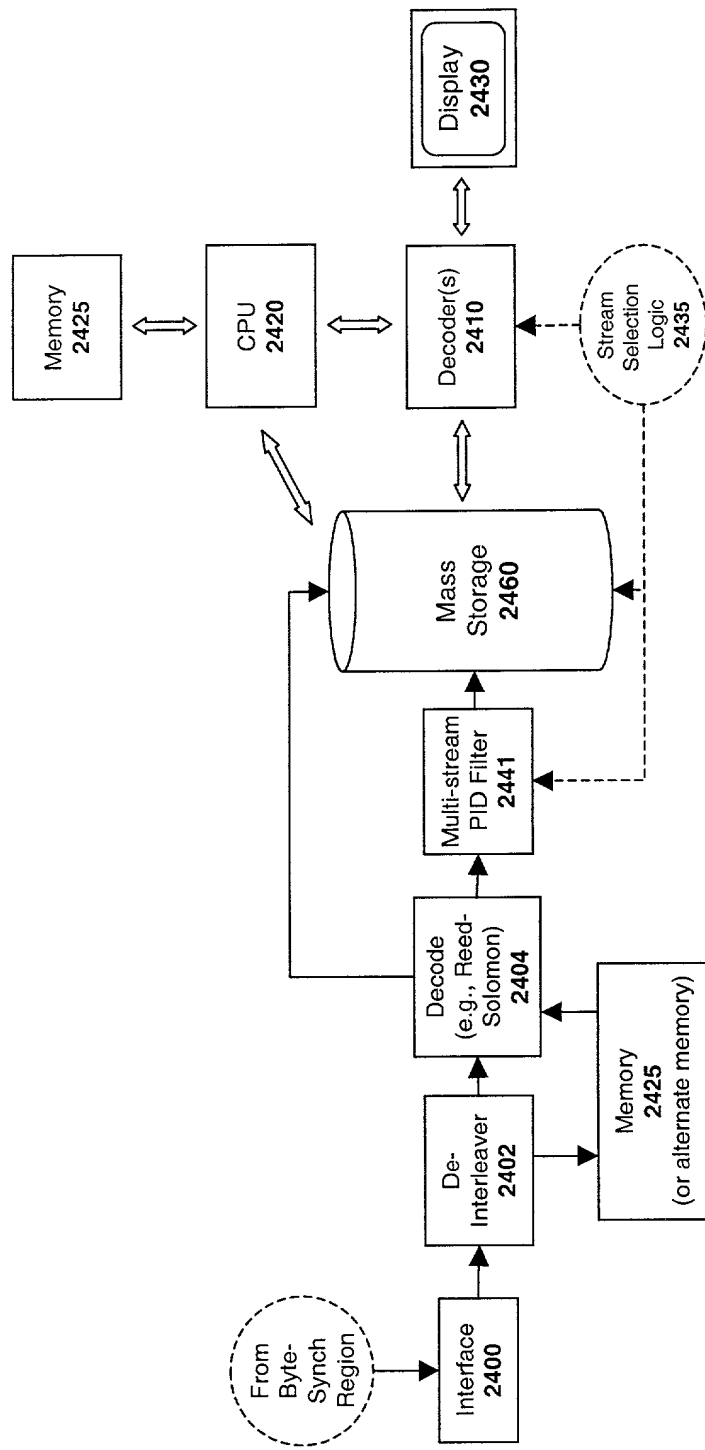


Fig. 24